

МИНИСТЕРСТВО ОБРАЗОВАНИЯ И НАУКИ РОССИЙСКОЙ ФЕДЕРАЦИИ  
Филиал Федерального Государственного автономного  
образовательного учреждения высшего образования  
«Южно-Уральский государственный университет  
(национальный исследовательский университет)»  
Факультет «Машиностроительный»  
Кафедра «Автомобилестроение»

ПРОЕКТ ПРОВЕРЕН

Рецензент, \_\_\_\_\_  
(должность)

\_\_\_\_\_  
(подпись) (И.О.Ф.)

\_\_\_\_\_ 2017 г.

ДОПУСТИТЬ К ЗАЩИТЕ

*Заведующий кафедрой, к.т.н.,  
доцент*

\_\_\_\_\_  
(подпись) (И.О.Ф.)

\_\_\_\_\_ 2017 г.

\_\_\_\_\_ 2017 г.

Автомобиль с модульной установкой опрыскивателя

\_\_\_\_\_  
(наименование темы проекта)

ВЫПУСКНОЙ КВАЛИФИКАЦИОННЫЙ ПРОЕКТ  
ЮУрГУ–23.05.01.2017.615.ВКП

Консультант, к.э.н.  
Экономическая часть

\_\_\_\_\_  
*Н.С. Комарова*

\_\_\_\_\_ 2017 г.

Руководитель, к.т.н., доцент

\_\_\_\_\_  
*В.В. Краснокутский*

\_\_\_\_\_ 2017 г.

Консультант, к.т.н., доцент  
Безопасность жизнедеятельности

\_\_\_\_\_  
*В.В. Краснокутский*

\_\_\_\_\_ 2017 г.

Автор  
студент группы МиМс-551

\_\_\_\_\_  
*М.А. Позолотин*

\_\_\_\_\_ 2017 г.

Нормоконтролер, ведущий инженер  
АО ГРЦ КБ им. ак. В.П. Макеева

\_\_\_\_\_  
*М.И. Абрамов*

\_\_\_\_\_ 2017 г.

Миасс, 2017

## АННОТАЦИЯ

Позолотин М. А. Автомобиль с модульной установкой опрыскивателя. – Миасс: ЮУрГУ, Кафедра «Автомобилестроение»; 2017. Расчетно-пояснительная записка, 80 с. Библиография литературы – 20 наименований, 9 листов ф. А1, 2 листа ф.А3, 2 листа ф.А4, спецификация 3 листа.

В данном проекте был произведен анализ конструкций автомобилей, и выбрано транспортное средство для установки опрыскивателя, в ходе анализа были проанализированы существующие на рынке опрыскиватели и был выбран подходящий исходя из технических и экономических соображений Опрыскиватель Заря ОП 2000, в качестве проектируемого автомобиля был выбран автомобиль Урал-43206, для проектируемого автомобиля выполнен тягово-динамический расчет.

Также была выбрана технологическая деталь кронштейн, для которой была выполнена разработка технологического процесса изготовления.

В разделе безопасность жизнедеятельности были рассмотрены вопросы безопасности при работе с пестицидами и эксплуатация опрыскивателя.

В разделе гражданская оборона была определена роль автомобилю в обеззараживанию территории от радиации.

Было дано экономическое обоснование целесообразности установки модуля опрыскивателя.

					23.05.01.2017.615 ПЗ			
Изм.	Лист	№ докум.	Подпись	Дата				
Разраб.		Позолотин М	<i>М.А. Позолотин</i>	31.05.17	Автомобиль с модульной установкой опрыскивателя	Лит.	Лист	Листов
Провер.		Краснокутский	<i>В.И. Краснокутский</i>			4	4	80
Н. Контр.		Абрамов М.И.	<i>М.И. Абрамов</i>	31.05.17	ЮУрГУ Кафедра «Автомобилестроение»			
Утверд.		Краснокутский	<i>В.И. Краснокутский</i>	31.05.17				

## ОГЛАВЛЕНИЕ

ВВЕДЕНИЕ	7
1 ТЕХНИКО-ЭКОНОМИЧЕСКОЕ ОБОСНОВАНИЕ	8
1.1 Обзор конструкции	8
1.2 Классификация опрыскивателей	12
1.2.1 Прицепные	12
1.2.2 Навесные	13
1.2.3 Самоходные	13
1.3 Выбор опрыскивателя	14
Вывод по разделу один	16
2 ТЯГОВО-ДИНАМИЧЕСКИЙ РАСЧЕТ	17
2.1 Исходные данные	17
2.2 Внешняя скоростная характеристика двигателя	18
2.3 Тяговая характеристика автомобиля	20
2.4 Мощностной баланс автомобиля	21
2.5 Динамическая характеристика автомобиля	22
2.6 Ускорение автомобиля	23
2.7 Время и путь разгона автомобиля	23
2.8 Угол подъема автомобиля	26
2.9 Расчет топливной экономичности	26
Вывод по разделу два	34
3 КОНСТРУКЦИОННАЯ ЧАСТЬ	35
3.1 Расход пестицида	35
3.2 Минутный расход	35
3.3 Общая масса	36

										Лист
Изм.	Лист	№ докум.	Подпись	Дата	23.05.01.2017.615 ПЗ					



## ВВЕДЕНИЕ

В выступлениях Президента, постановлениях правительства большое внимание уделяется развитию сельскохозяйственного производства, в связи с санкциями необходимо импортозамещение продукции и обеспечению продовольственной безопасности страны. Вместе с этим наблюдается снижение энерговооруженности сельскохозяйственных предприятий, повсеместное старение техники, уменьшение числа механизации кадров и снижение их профессионального уровня.

Технический уровень в машиностроении определяет решающие отрасли народного хозяйства. Очень важно при проектировании сельскохозяйственных машин учесть такие факторы как их надежность, долговечность и низкую себестоимость.

В последнее время сельхозпроизводители а также мелкие фермеры все чаще задумываются о целесообразности покупки самоходных опрыскивателей. Стоимость самоходного опрыскивателя иностранного производства, может составлять 14 млн руб. Неудивительно, что сельхозпроизводители пытаются искать более доступные отечественные аналоги. Такую технику, как правило, приобретают крупные предприятия, чья посевная площадь составляет не менее 10-20 тыс. га. Особенно востребованы они, если в хозяйстве почва обрабатывается по технологиям Mini-Till или No-Till, также когда в структуре севооборота значительную долю занимают пропашные культуры – кукуруза, подсолнечник.

Опрыскиватель на базе автомобиля Урал наиболее лучше подойдет для обработки почвы. Небольшая цена, простота конструкции, комфорт возможность демонтажа конструкции делают опрыскиватель на базе автомобиля Урал конкурентом для иностранных производителей.

										Лист
										7
Изм.	Лист	№ докум.	Подпись	Дата						

23.05.01.2017.615 ПЗ

# 1 ТЕХНИКО-ЭКОНОМИЧЕСКОЕ ОБОСНОВАНИЕ

## 1.1 Обзор конструкций

Для полноприводных грузовиков популярность – нормальное состояние. Эти машины всегда были и остаются востребованными, особенно в тех регионах, куда на обычном транспорте не проехать. Можно отметить, что в российском автопроме хорошо налажено производство таких автомобилей. Т.е. на каждом из заводов, производящих грузовые автомобили (КамАЗ, ГАЗ, ЗИЛ, Урал и др.), обязательно выпускают и полноприводные модели грузовиков.

На рынке коммерческой автомобильной техники пытаются доминировать грузовые автомобили иностранных производителей. Однако КамАЗ достаточно успешно старается выдерживать конкуренцию с импортными грузовиками. Доказательством тому служит сохранение маркой своих позиций лидера по объему продаж этих автомобилей в России. Бортовой полноприводный автомобиль КАМАЗ-4326 (4x4)

Цена тягача КамАЗ-4326 в исполнении «шасси» на российском рынке от ~ 1 млн. 750 тыс. рублей, стоимость «бортового» исполнения от ~ 1 млн. 900 тыс. рублей



Рисунок 1.1 - КамАЗ 4326 (Россия)

									Лист
									8
Изм.	Лист	№ докум.	Подпись	Дата					

23.05.01.2017.615 ПЗ

Самым легендарным полноприводным грузовиком является ГАЗ-66, представляющий семейство грузовых автомобилей повышенной проходимости. Его основное предназначение – использование в тяжелых дорожных условиях для уверенной езды по бездорожью. Наличие самоблокирующегося дифференциала заднего моста и большого дорожного просвета полноприводного грузовика ГАЗ-66 дают возможность быстрого и беспрепятственного преодоления самых сложных участков пути абсолютно независимо от условий окружающей среды.



Рисунок 1.2 - ГАЗ-66

На сегодняшний день производство легендарного ГАЗ-66 завершилось в конце прошлого века в 1999ом году.

Много на рынке и китайских грузовиков Howo, которые представляют новую ветвь развития модельного ряда известной грузовой техники объединения CNHTC Sinotruk. Своей комфортабельностью кабина CNHTC Sinotruk Howo обязана всемирно известной компании Volvo: производится в Китае по лицензии этой фирмы. От стандартной версии эти грузовики отличает обновлённый узнаваемый дизайн. Оснащен двигателем серии WD615, соответствующим нормам Евро-2 и Евро-3.

										Лист
										9
Изм.	Лист	№ докум.	Подпись	Дата						

23.05.01.2017.615 ПЗ





Рисунок 1.3 - Howo (Китай)

Стоимость данного автомобиля Howo, колеблется от 2 300 000 до 2 800 000 рублей.

Полноприводное автомобильное шасси МАЗ 4х4 – навеска специального и грузового оборудования. Конструкция и особенности шасси данного типа: две оси ведущих мостов предоставляют возможность передвижения в районах с низкой проходимостью, в том числе по заснеженной и заболоченной местности.

Грузовики с колесной формулой 4х4 широко применяются в качестве шасси для автоцистерн, автомастерских и других различных видов специальной техники. Стоимость автомобиля от 1900000 до 2220000 тыс.рублей



Рисунок 1.4 - МАЗ 5316Х5-461-001 (Беларусь)

Модель Урал 4320 является базовой для многочисленного семейства грузовиков, которые эксплуатируются в различных отраслях народного хозяйства.

									Лист
									10
Изм.	Лист	№ докум.	Подпись	Дата					

23.05.01.2017.615 ПЗ



Самым легким в этом семействе является внедорожный Урал 43206. Этот грузовик практически не уступает по проходимости трехосным вездеходам. Несмотря на колесную формулу 4x4 он способен передвигаться по любому виду дорожного покрытия, в том числе заснеженной, болотистой или песчаной местности. Грузоподъемность шасси Урал 43206 составляет 5,5 тонн. Грузовик с бортовой платформой рассчитан на перевозку до 4,2 тонн грузов и 27 человек в кузове, оснащенный откидными скамейками. [20]. Цена автомобиля на российском рынке от 1 500 000 до 2 000 000.



Рисунок 1.5 - Урал 43206 (Россия)

### Заключение

На основе проведенного обзора конструкций, можно сделать вывод о том, что автомобиль Урал с колесной формулой 4×4 отлично подойдет для установки опрыскивателя модульного типа по техническим характеристикам, так же и исходя из ценовой политики.

									Лист
									11
Изм.	Лист	№ докум.	Подпись	Дата					

23.05.01.2017.615 ПЗ

## 1.2 Классификация опрыскивателей

Опрыскиватели — механизмы, предназначенные для защиты культивируемых растений от болезней и вредителей, а также для внесения минеральных удобрений.

На сегодняшний день, выбор опрыскивателей на самом деле очень разнообразен. И самое главное это выбор оптимального варианта данной техники под свои задачи, чтобы средства. [13]

В первую очередь нужно остановиться на группах опрыскивателей, всего их три: навесные, прицепные, самоходные.

### 1.2.1 Прицепные опрыскиватели

#### Прицепной тип опрыскивателя



Рисунок 2.1-Прицепной опрыскиватель Caiman 3000

Прицепной тип опрыскивателя. Они считаются самыми популярными на рынке. Рабочий объем значительно больше по сравнению с навесными опрыскивателями порядка 2-4 кубов. Все это дает возможность эксплуатировать их на значительно больших площадях без дозаправки. Ширина захвата также больше, чем у навесных опрыскивателей и достигает от 24-36 м.

									Лист
									12
Изм.	Лист	№ докум.	Подпись	Дата	23.05.01.2017.615 ПЗ				

## 1.2.2 Навесные опрыскиватели

### Навесной тип опрыскивателя



Рисунок 2.2-Навесной опрыскиватель ОНШ 600

Навесной тип опрыскивателя навешивается на навеску трактора. В большинстве случаев они небольшого объема порядка 600-800 литров и рабочим захватом 12-18 метров. В то же время им характерны такие преимущества как отличная маневренность, эксплуатация с тракторами отечественного производства, доступная стоимость, приемлемая средняя скорость. Из недостатков выделяется невысокая производительность. Кроме этого клиренс ограничивается трактором

## 1.2.3 Самоходные

### Самоходные опрыскиватели SX275



Рисунок 2.3-Самоходный опрыскиватель SX 275

Изм.	Лист	№ докум.	Подпись	Дата

23.05.01.2017.615 ПЗ

Лист

13





Стоимость опрыскивателя Мекосан 2000-18 от 400 000 до 500 000 тыс.рублей



Рисунок 2.5-Опрыскиватель Заря ОП 2000-18

Техническая характеристика Опрыскивателя Заря ОП 2000-18 [14]

Объем рабочего бака: 2000 л

Ширина обработки: 18 м

Объем промывочного бака: 167 л

Ширина колеи: 1400, 1500, 1800 мм

Дорожный просвет: 550 мм

Высота подъема штанг: от 500 до 2000 мм

Складывание-раскладывание штанг: Гидравлическое

Подъем и опускание штанг: Гидравлическое

Масса пустого, не более: 980 кг

Стоимость данного опрыскивателя на рынке составляет от 320 000 до 400 000 тыс. рублей

В результате анализа существующих конструкций опрыскивателей, наиболее подходящим опрыскивателем для установки на платформу автомобиля Урал является опрыскиватель фирмы Заря. Стоимость данного опрыскивателя значительно ниже других производителей, простота конструкции являются важнейшим фактом при выборе опрыскивателя.

Изм.	Лист	№ докум.	Подпись	Дата

23.05.01.2017.615 ПЗ

Лист

15

Вывод по первому разделу:

В результате проведенного обзора опрыскивателей наиболее подходящим будет установка на платформу автомобиля Урал опрыскиватель от прицепного типа с рабочим объемом 2 000 литров с шириной захвата обработки 18 м.

Проанализировав опрыскиватели и проведя обзор конструкций автомобилей сделал вывод, что самоходный опрыскиватель на базе автомобиля УРАЛ 43206 с колесной формулой 4x4 будет удовлетворять технико-экономическим свойствам. Это объясняется очевидными преимуществами:

1. Высокая производительность. Маятниковая (с амортизаторами) система подвеса штанг опрыскивателя в сочетании с рессорами шасси автомобиля позволяют вести обработку посевов на высокой скорости до 40 км/ч. Дневная выработка достигает 300 га.
2. Оснащенный малообъемным оборудованием опрыскиватель, за одну заправку химикатом обрабатывает до 200 гектар.
3. Высокая мобильность и внедорожная проходимость опрыскивателя позволяет экономить время на переезды (между полями, за водой).
4. Стоимость несколько раз ниже импортных самоходных опрыскивателей. Доступные и недорогие запасные части.
5. Использование автомобиля по прямому назначению после проведения сезонных работ путем демонтажа опрыскивателя и установки кузова.

										Лист
										16
Изм.	Лист	№ докум.	Подпись	Дата	23.05.01.2017.615 ПЗ					

## 2 ТЯГОВО-ДИНАМИЧЕСКИЙ РАСЧЕТ

### 2.1 Исходные данные

$M_{\phi}$ - масса приходящаяся на ведущие колеса, кг	12380
$v_{amax}$ - максимальная скорость автомобиля, м/с (км/ч)	25,0
$v_{amin}$ - минимальная скорость м/с (км/ч)	(90)
	0,8 (3)
$r_k$ – радиус качения колеса, м	0,6
$P$ – количество полных зубчатых зацеплений в потоке мощности	7
$l$ – количество карданных шарниров в потоке мощности	8
$C_x$ – коэффициент аэродинамического сопротивления	1
$\rho$ - плотность воздуха, кг/м <sup>3</sup>	1,28
$B$ – колея передних колес автомобиля, м	2
$H$ - высота автомобиля, м	3
$K_L$ - коэффициент заполнения лобового сечения	1
$\phi$ – коэффициент сцепления шин с дорогой	0,8
$Q$ – номинальный удельный расход топлива, г/кВт·ч	197
$N_{emax}$ – максимальная мощность двигателя, кВт (л.с.)	169 (230)
$n_{emin}$ – минимальная устойчивая частота вращения двигателя, об/мин	1000
$n_{emax}$ – максимальная частота вращения двигателя, об/мин	2100
$i_{гд}$ – передаточное число главной передачи	6,77

На рассматриваемом автомобиле установлен двигатель модели ЯМЗ-236НЕ23 и 5-ступенчатая коробка передач ЯМЗ-236У. [16]

										Лист
										17
Изм.	Лист	№ докум.	Подпись	Дата	23.05.01.2017.615 ПЗ					





$$N_{eMIN} = 169 \left( 0,5 \frac{1000}{2100} + 1,5 \frac{1000^2}{2100^2} - \frac{1000^3}{2100^3} \right) = 79,5 \text{ кВт}, \text{ аналогично находим остальные}$$

значения мощности двигателя, полученные значения заносим в таблицу.

Кривую крутящего момента  $M_e=f(n_e)$  строим по формуле:

$$M_e = \frac{30N_e \cdot 10^3}{\pi \cdot n_e}, \quad (2.2)$$

где  $M_e$  – крутящий момент двигателя, Н·м

$$M_{eMIN} = \frac{30 \cdot 79,5 \cdot 10^3}{3,14 \cdot 1000} = 759,3 \text{ Нм}, \text{ аналогично находим остальные значения}$$

крутящего момента, полученные значения заносим в таблицу 2.3.

Таблица 2.3 - Внешняя скоростная характеристика двигателя

Частота вращения, об/мин ( $n_e$ )	Мощность, кВт ( $N_e$ )	Крутящий момент, Н·м ( $M_e$ )
1000	79,47	759,29
1100	89,53	777,60
1200	99,53	792,42
1300	109,36	803,75
1400	118,93	811,60
1500	128,10	815,96
1600	136,79	816,83
1700	144,88	814,21
1800	152,25	808,11
1900	158,80	798,52
2000	164,42	785,44
2100	169,00	768,88

### 2.3 Тяговая характеристика автомобиля

Тяговой характеристикой автомобиля называют график зависимости силы тяги на колесах автомобиля от скорости движения на различных передачах  $P_k=f(v_a)$ . Силу тяги определяем по формуле:

$$P_k = \frac{M_e \cdot i_{mp} \cdot \eta_{mp}}{r_k}, \quad (2.3)$$

где  $P_k$  – сила тяги на колесах автомобиля, Н;

$\eta_{тр}$  – КПД трансмиссии;

$i_{тр}$  – передаточное число трансмиссии.

$$\eta_{тр} = 0,98^9 \cdot 0,996^1, \quad (2.4)$$

$$\eta_{mp} = 0,98^7 \cdot 0,996^8 = 0,84.$$

$$i_{тр} = i_{кп} \cdot i_{рк} \cdot i_{гл}, \quad (2.5)$$

где  $i_{кп}$  – передаточное число коробки передач;

$i_{рк}$  – передаточное число раздаточной коробки.

$$i_{mp1} = 5.26 \cdot 2,15 \cdot 6.77 = 76,5$$

$$i_{mp2} = 0.66 \cdot 1.21 \cdot 6.77 = 5.4,$$

$$v_a = 0,105 \frac{n_e \cdot r_k}{i_{тр}}, \quad (2.6)$$

График тяговой характеристики двигателя представлен на рисунке 2.2.

									Лист
									20
Изм.	Лист	№ докум.	Подпись	Дата					

23.05.01.2017.615 ПЗ

## 2.4 Мощностной баланс автомобиля

Уравнение мощностного баланса имеет следующий вид:

$$N_k = N_f + N_\alpha + N_w + N_j, \quad (2.7)$$

где  $N_k$  – мощность приложенная к колесам со стороны трансмиссии, Вт;

$N_f$  – сила затрачиваемая на преодоление сопротивления качению, Вт;

$N_\alpha$  – мощность затрачиваемая на преодоление подъема, Вт;

$N_w$  – сила затрачиваемая на преодоление сопротивления воздуха, Вт;

$N_j$  – мощность затрачиваемая на преодоление сил инерции, Вт.

$$P_k \cdot v_a = m_a \cdot f \cdot g \cdot v_a \cdot \cos \alpha + m_a \cdot g \cdot v_a \cdot \sin \alpha + 0,5 C_x \cdot \rho \cdot F_a \cdot v_a^3 + m_a \cdot \delta_j \cdot v_a \frac{dv_a}{dt} \quad (2.8)$$

Для нашего варианта рассмотрим случай равномерного прямолинейного движения автомобиля по ровной дороге без подъема, когда мощность приложенная к колесам ( $N_k$ ) расходуется только на преодоление сопротивления качению и сопротивления воздуха ( $N_f + N_w$ ).

$$N_k = P_k \cdot v_a, \quad (2.9)$$

Где  $v_a$  – скорость движения автомобиля, м/с.

$$N_f = m_a \cdot f \cdot g \cdot v_a, \quad (2.10)$$

$$N_w = 0,5 C_x \cdot \rho \cdot F_a \cdot v_a^3, \quad (2.11)$$

Где  $F_a$  – площадь лобового сечения автомобиля, м<sup>2</sup>.

$$F_a = B \cdot H \cdot K_{Л}, \quad (2.12)$$

$$F_a = 2 \cdot 3 \cdot 1 = 6,0 \text{ М}^2.$$

Определим максимальную мощность двигателя по формуле:

$$N_{ev \max} = \frac{\psi \cdot m_a \cdot g \cdot v_{a \max} + 0,5 \cdot \rho \cdot C_x \cdot F_a \cdot V_a^3}{\eta_{тр}} \quad (2.13)$$

$$N_{ev \max (нетто)} = \frac{0,018 \cdot 12380 \cdot 9,8 \cdot 25 + 0,5 \cdot 1,28 \cdot 1 \cdot 6,0 \cdot 25^3}{0,84} = 126 \text{ кВт}$$

График мощностного баланса представлен на рисунке 2.3.

### 2.5 Динамическая характеристика автомобиля

Динамической характеристикой называют график зависимости динамического фактора D автомобиля с полной нагрузкой от скорости движения на различных передачах. Динамическим фактором автомобиля называют отношение разности силы тяги на колесах и силы сопротивления воздуха к весу автомобиля:

$$D = \frac{P_k - P_w}{m_a \cdot g}, \quad (2.14)$$

где D – динамический фактор автомобиля;

$P_w$  – сила сопротивления воздуха, Н.

$$P_w = 0,5 \cdot C_x \cdot \rho \cdot F_a \cdot v_a^2, \quad (2.15)$$

$$P_{W \max} = 0,5 \cdot c_x \cdot \rho \cdot F_a \cdot V_{a \max}^2 = 0,5 \cdot 1 \cdot 1,28 \cdot 6 \cdot 25^2 = 24000 \text{ Н}$$

$$P_{W \min} = 0,5 \cdot c_x \cdot \rho \cdot F_a \cdot V_{a \min}^2 = 0,5 \cdot 1 \cdot 1,28 \cdot 6 \cdot 0,8^2 = 2,46 \text{ Н}$$

										Лист
										22
Изм.	Лист	№ докум.	Подпись	Дата	23.05.01.2017.615 ПЗ					

$$D_{\max} = \frac{81320,13 - 24000}{12300 \cdot 9,8} = 0,6$$

$$D_{\min} = \frac{45803,26 - 2,46}{12300 \cdot 9,8} = 0,3$$

Полученные значения сводим в общую таблицу, и строим график.

## 2.6 Ускорение автомобиля

Ускорение автомобиля на разных передачах определяем по формуле:

$$j = \frac{D - f}{\delta_j} \cdot g, \quad (2.16)$$

где  $j$  – ускорение автомобиля;

$\delta_j$  – коэффициент, учитывающий влияние вращающихся масс автомобиля;

$$\delta_j = 1,04 + 0,04 \cdot i_{\text{кп}}^2 \cdot i_{\text{рк}}, \quad (2.17)$$

Полученные данные сводим в таблицу и строим график, на всех передачах.

## 2.7 Время и путь разгона

Время и путь разгона определяем графоаналитическим способом. Кривую ускорений разбиваем на ряд отрезков и считаем, что в каждом интервале скорости автомобиль разгоняется с постоянным ускорением, то есть:

$$j_{\text{ср}} = 0,5(j_i + j_{i+1}), \quad (2.18)$$

где  $j_{\text{ср}}$  – среднее ускорение в выбранном интервале скоростей,  $\text{м/с}^2$ ;

										Лист
										23
Изм.	Лист	№ докум.	Подпись	Дата	23.05.01.2017.615 ПЗ					

$j_i$  и  $j_{i+1}$  – ускорения соответственно в начале и конце выбранного интервала скоростей, м/с<sup>2</sup>;

$i$  – номер интервала.

При изменении скорости, например, от  $v_i$  до  $v_{i+1}$  среднее ускорение можно рассчитать также по формуле:

$$j_{cp} = \frac{v_{i+1} - v_i}{t_i}, \quad (2.19)$$

где  $t_i$  – время разгона автомобиля в интервале скоростей от  $v_i$  до  $v_{i+1}$ , с.

По формуле находим время разгона в  $i$ -м интервале скоростей:

$$t_i = \frac{v_{i+1} - v_i}{j_{cp}}, \quad (2.20)$$

Тогда общее время разгона автомобиля можно определить как:

$$t = \sum_n^{i=1} t_i, \quad (2.21)$$

где  $t$  – время разгона в интервале скоростей от  $v_{min}$  до  $v_{max}$ , с;

$n$  – количество интервалов.

При расчете пути разгона приближенно считаем, что в каждом интервале изменения скорости автомобиль движется равномерно со средней скоростью  $v_{cp}$ , которая определяется по формуле:

$$v_{cp} = 0,5(v_i + v_{i+1}), \quad (2.22)$$

									Лист
									24
Изм.	Лист	№ докум.	Подпись	Дата					



где  $v_{cp}$  – средняя скорость в интервале от  $v_i$  до  $v_{i+1}$ , м/с.

Исходя из этого допущения путь разгона в интервале скоростей от  $v_i$  до  $v_{i+1}$  можно определить как:

$$S_i = v_{cp} \cdot t_i, \quad (2.23)$$

где  $S_i$  – путь, пройденный автомобилем за время  $t_i$ , м.

Тогда общий путь разгона автомобиля за время  $t$  определяется по формуле:

$$S = \sum_n^{i=1} S_i, \quad (2.24)$$

где  $S$  – общий путь разгона пройденный за время  $t$ , м.

При разгоне с места отсчет ведем от скорости, соответствующей минимально устойчивому числу оборотов коленчатого вала двигателя.

По мере достижения скорости автомобиля к максимальной, ускорение приближается к нулю. Из этого следует, что время разгона автомобиля до максимальной скорости, определяемое пересечением кривой ускорения с осью абсцисс, теоретически бесконечно велико. Однако разгон становится практически не ощутим при скорости автомобиля, равной  $0,9 \div 0,95 v_{max}$ . Поэтому время и путь разгона определяются обычно до скорости на  $5 \div 10$  % меньше максимальной. Значения сводим в общую таблицу и строим график.

									Лист
									25
Изм.	Лист	№ докум.	Подпись	Дата					

23.05.01.2017.615 ПЗ

## 2.8 Угол подъема автомобиля

Максимальный угол подъема автомобиля по тяге определяем по формуле:

$$\alpha_{\max} = \arcsin \frac{D_{\max} - f\sqrt{1 - D_{\max}^2 + f^2}}{1 + f^2}, \quad (2.25)$$

где  $\alpha_{\max}$  – максимальный угол подъема автомобиля по тяге, °.

$$\alpha_{\max} = \arcsin \frac{0,6 - 0,018\sqrt{1 - 0,6^2 + 0,018^2}}{1 + 0,018^2} = 35^\circ.$$

Максимальный угол подъема по сцеплению определяем по формуле:

$$\alpha_{\max \varphi} = \arctg\left(\frac{m_{\varphi}}{m_a} \cdot \varphi - f\right), \quad (2.26)$$

где  $\alpha_{\max \varphi}$  – максимальный угол подъема автомобиля по сцеплению, °.

$$\alpha_{\max \varphi} = \arctg\left(\frac{12380}{12380} \cdot 0,8 - 0,018\right) = 38^\circ$$

## 2.9 Расчет топливной экономичности

Рассчитаем увеличение расхода топлива при повышении сопротивления качению  $f$  с 0,018 до 0,03

$$Q_s = \frac{100}{V_a} q(N_{TP} + N_f + N_w + N_e), \quad (2.27)$$

$$q = 197 \text{ г/кВт ч} = 40,1 \text{ г/Вт·с}$$

$$N_{TP} = Ne_{\max} (\text{нетто}) \cdot (1 - \eta_{TP}) = 162 \cdot 0,16 = 26,0 \text{ кВт}$$

$$N_w = P_w \cdot v_a = 0,5 \rho \cdot Cx \cdot F \cdot v_a^3 = 0,5 \cdot 1,28 \cdot 1,6 \cdot 25^3 = 60 \text{ кВт}$$

									Лист
									26
Изм.	Лист	№ докум.	Подпись	Дата					

23.05.01.2017.615 ПЗ



Продолжение таблицы 2.5

	7	1600	2,39	48270,65	0,38	115270,61	52,29	5181,30	2,00	0,50
	8	1700	2,54	48116,11	0,38	122082,89	62,72	5505,14	1,99	0,50
	9	1800	2,69	47755,49	0,37	128295,45	74,46	5828,97	1,98	0,51
	10	1900	2,84	47188,81	0,37	133816,01	87,57	6152,80	1,95	0,51
	11	2000	2,99	46416,07	0,36	138552,32	102,13	6476,63	1,92	0,52
	12	2100	3,13	45437,26	0,35	142412,10	118,23	6800,46	1,87	0,53

Таблица 2.6-Расчет третьей высшей передачи

	№ точки	n, об/мин	V, м/с	Pk, Н	D	Nk	Nw	Nf	j	1/j
1	2	3	4	5	6	7	8	9	10	11
III	1	1000	2,85	23518,38	0,17	66969,52	88,66	6178,36	1,23	0,81
	2	1100	3,13	24085,41	0,18	75442,58	118,01	6796,20	1,27	0,79
	3	1200	3,42	24544,44	0,18	83869,52	153,21	7414,04	1,30	0,77
	4	1300	3,70	24895,46	0,19	92158,05	194,79	8031,87	1,32	0,75
	5	1400	3,99	25138,47	0,19	100215,92	243,29	8649,71	1,34	0,75
	6	1500	4,27	25273,48	0,19	107950,86	299,24	9267,55	1,35	0,74
	7	1600	4,56	25300,48	0,19	115270,61	363,16	9885,38	1,35	0,74
	8	1700	4,84	25219,48	0,19	122082,89	435,60	10503,22	1,35	0,74
	9	1800	5,13	25030,47	0,19	128295,45	517,08	11121,06	1,33	0,75
	10	1900	5,41	24733,45	0,18	133816,01	608,14	11738,89	1,31	0,76
	11	2000	5,70	24328,42	0,18	138552,32	709,30	12356,73	1,29	0,78
	12	2100	5,98	23815,39	0,18	142412,10	821,10	12974,57	1,25	0,80

Таблица 2.7-Расчет четвертой высшей передачи

	№ точки	n, об/мин	V, м/с	Pk, Н	D	Nk	Nw	Nf	j	1/j
1	2	3	4	5	6	7	8	9	10	11
IV	1	1000	4,33	15466,77	0,11	66969,52	311,72	9394,66	0,78	1,28
	2	1100	4,76	15839,68	0,11	75442,58	414,90	10334,13	0,81	1,24
	3	1200	5,20	16141,55	0,11	83869,52	538,65	11273,60	0,83	1,21
	4	1300	5,63	16372,40	0,12	92158,05	684,85	12213,06	0,85	1,18
	5	1400	6,06	16532,22	0,12	100215,92	855,36	13152,53	0,86	1,17
	6	1500	6,49	16621,01	0,12	107950,86	1052,05	14092,00	0,86	1,16
	7	1600	6,93	16638,76	0,12	115270,61	1276,80	15031,46	0,86	1,16
	8	1700	7,36	16585,49	0,12	122082,89	1531,48	15970,93	0,86	1,16

Продолжение таблицы 2.7

	9	1800	7,79	16461,19	0,12	128295,45	1817,95	16910,40	0,85	1,17
	10	1900	8,23	16265,86	0,11	133816,01	2138,08	17849,86	0,84	1,19
	11	2000	8,66	15999,49	0,11	138552,32	2493,76	18789,33	0,82	1,22
	12	2100	9,09	15662,10	0,11	142412,10	2886,83	19728,79	0,79	1,26

Таблица 2.8-Расчет пятой высшей передачи

	№ точки	n, об/мин	V, м/с	Pk, Н	D	Nk	Nw	Nf	j	1/j
1	2	3	4	5	6	7	8	9	10	11
V	1	1000	6,56	10211,93	0,06	66969,52	1083,03	14228,96	0,42	2,37
	2	1100	7,21	10458,14	0,07	75442,58	1441,51	15651,86	0,44	2,27
	3	1200	7,87	10657,45	0,07	83869,52	1871,47	17074,75	0,46	2,20
	4	1300	8,53	10809,87	0,07	92158,05	2379,41	18497,65	0,47	2,14
	5	1400	9,18	10915,39	0,07	100215,92	2971,83	19920,54	0,47	2,11
	6	1500	9,84	10974,01	0,07	107950,86	3655,22	21343,44	0,48	2,09
	7	1600	10,49	10985,74	0,07	115270,61	4436,08	22766,34	0,48	2,08
	8	1700	11,15	10950,56	0,07	122082,89	5320,92	24189,23	0,48	2,10
	9	1800	11,80	10868,49	0,07	128295,45	6316,22	25612,13	0,47	2,12
	10	1900	12,46	10739,52	0,07	133816,01	7428,49	27035,03	0,46	2,17
	11	2000	13,12	10563,66	0,07	138552,32	8664,22	28457,92	0,45	2,23
	12	2100	13,77	10340,89	0,07	142412,10	10029,92	29880,82	0,43	2,32

Таблица 2.9-Результат на первой низшей передаче

	№ точки	n, об/мин	V, м/с	Pk, Н	D	Nk	Nw	Nf	j	1/j
1	2	3	4	5	6	7	8	9	10	11
I	1	1000	1,46	45803,26	0,38	66969,52	12,00	3172,37	2,72	0,37
	2	1100	1,61	46907,59	0,39	75442,58	15,98	3489,61	2,79	0,36
	3	1200	1,75	47801,57	0,39	83869,52	20,74	3806,85	2,85	0,35
	4	1300	1,90	48485,20	0,40	92158,05	26,37	4124,09	2,89	0,35
	5	1400	2,05	48958,48	0,40	100215,92	32,93	4441,32	2,92	0,34
	6	1500	2,19	49221,42	0,41	107950,86	40,51	4758,56	2,93	0,34
	7	1600	2,34	49274,00	0,41	115270,61	49,16	5075,80	2,94	0,34
	8	1700	2,49	49116,24	0,40	122082,89	58,97	5393,04	2,93	0,34
	9	1800	2,63	48748,13	0,40	128295,45	70,00	5710,27	2,91	0,34

Продолжение таблицы 2.9

	10	1900	2,78	48169,68	0,40	133816,01	82,33	6027,51	2,87	0,35
	11	2000	2,92	47380,87	0,39	138552,32	96,02	6344,75	2,82	0,35
	12	2100	3,07	46381,72	0,38	142412,10	111,16	6661,99	2,76	0,36

Таблица 2.10-Результат на второй низшей передаче

	№ точки	n, об/мин	V, м/с	Pк, Н	D	Nk	Nw	Nf	j	1/j
1	2	3	4	5	6	7	8	9	10	11
II	1	1000	2,65	25252,75	0,21	66969,52	71,62	5754,03	1,58	0,63
	2	1100	2,92	25861,60	0,21	75442,58	95,33	6329,43	1,62	0,62
	3	1200	3,18	26354,48	0,22	83869,52	123,76	6904,84	1,65	0,60
	4	1300	3,45	26731,38	0,22	92158,05	157,35	7480,24	1,68	0,60
	5	1400	3,71	26992,32	0,22	100215,92	196,53	8055,64	1,70	0,59
	6	1500	3,98	27137,28	0,22	107950,86	241,72	8631,05	1,71	0,59
	7	1600	4,24	27166,28	0,22	115270,61	293,36	9206,45	1,71	0,58
	8	1700	4,51	27079,30	0,22	122082,89	351,87	9781,85	1,70	0,59
	9	1800	4,77	26876,35	0,22	128295,45	417,69	10357,26	1,69	0,59
	10	1900	5,04	26557,43	0,22	133816,01	491,24	10932,66	1,67	0,60
	11	2000	5,30	26122,53	0,22	138552,32	572,96	11508,06	1,64	0,61
	12	2100	5,57	25571,67	0,21	142412,10	663,28	12083,47	1,60	0,62

Таблица 2.11-Результат на третьей низшей передаче

	№ точки	n, об/мин	V, м/с	Pк, Н	D	Nk	Nw	Nf	j	1/j
1	2	3	4	5	6	7	8	9	10	11
III	1	1000	5,06	13235,92	0,11	66969,52	497,39	10978,09	0,80	1,25
	2	1100	5,57	13555,04	0,11	75442,58	662,03	12075,89	0,82	1,21
	3	1200	6,07	13813,38	0,11	83869,52	859,50	13173,70	0,84	1,19
	4	1300	6,58	14010,93	0,12	92158,05	1092,77	14271,51	0,86	1,17
	5	1400	7,08	14147,70	0,12	100215,92	1364,85	15369,32	0,87	1,15
	6	1500	7,59	14223,68	0,12	107950,86	1678,70	16467,13	0,87	1,15
	7	1600	8,10	14238,88	0,12	115270,61	2037,32	17564,94	0,87	1,14
	8	1700	8,60	14193,29	0,12	122082,89	2443,69	18662,75	0,87	1,15
	9	1800	9,11	14086,91	0,12	128295,45	2900,80	19760,55	0,86	1,16
	10	1900	9,61	13919,75	0,11	133816,01	3411,62	20858,36	0,85	1,17

Продолжение таблицы 2.11

	11	2000	10,12	13691,81	0,11	138552,32	3979,15	21956,17	0,83	1,20
	12	2100	10,63	13403,08	0,11	142412,10	4606,36	23053,98	0,81	1,23

Таблица 2.12-Результат на четвертой низшей передаче

	№ точки	n, об/мин	V, м/с	Pк, Н	D	Nk	Nw	Nf	j	1/j
1	2	3	4	5	6	7	8	9	10	11
IV	1	1000	7,69	5747,18	0,07	66969,52	1746,75	16686,69	0,48	2,07
	2	1100	8,46	5885,74	0,07	75442,58	2324,92	18355,36	0,50	2,00
	3	1200	9,23	5997,92	0,07	83869,52	3018,38	20024,03	0,51	1,95
	4	1300	10,00	6083,69	0,08	92158,05	3837,61	21692,70	0,52	1,92
	5	1400	10,77	6143,08	0,08	100215,92	4793,08	23361,37	0,53	1,89
	6	1500	11,54	6176,07	0,08	107950,86	5895,28	25030,04	0,53	1,88
	7	1600	12,31	6182,67	0,08	115270,61	7154,69	26698,70	0,53	1,88
	8	1700	13,07	6162,87	0,08	122082,89	8581,78	28367,37	0,53	1,88
	9	1800	13,84	6116,69	0,08	128295,45	10187,05	30036,04	0,53	1,90
	10	1900	14,61	6044,10	0,08	133816,01	11980,96	31704,71	0,52	1,93
	11	2000	15,38	5945,13	0,07	138552,32	13974,00	33373,38	0,51	1,98
	12	2100	16,15	5819,76	0,07	142412,10	16176,65	35042,05	0,49	2,03

Таблица 2.14-Результат на пятой низшей передаче

	№ точки	n, об/мин	V, м/с	Pк, Н	D	Nk	Nw	Nf	j	1/j
1	2	3	4	5	6	7	8	9	10	11
V	1	1000	11,65	5747,18	0,05	66969,52	6075,74	25282,86	0,27	3,73
	2	1100	12,82	5885,74	0,05	75442,58	8086,81	27811,15	0,28	3,59
	3	1200	13,98	5997,92	0,05	83869,52	10498,87	30339,44	0,29	3,48
	4	1300	15,15	6083,69	0,05	92158,05	13348,39	32867,72	0,29	3,41
	5	1400	16,31	6143,08	0,05	100215,92	16671,82	35396,01	0,30	3,35
	6	1500	17,48	6176,07	0,05	107950,86	20505,61	37924,30	0,30	3,33
	7	1600	18,64	6182,67	0,05	115270,61	24886,22	40452,58	0,30	3,32
	8	1700	19,81	6162,87	0,05	122082,89	29850,09	42980,87	0,30	3,34
	9	1800	20,97	6116,69	0,05	128295,45	35433,70	45509,16	0,30	3,38
	10	1900	22,14	6044,10	0,05	133816,01	41673,48	48037,44	0,29	3,44
	11	2000	23,31	5945,13	0,05	138552,32	48605,89	50565,73	0,28	3,53
	12	2100	24,47	5819,76	0,05	142412,10	56267,40	53094,01	0,27	3,65



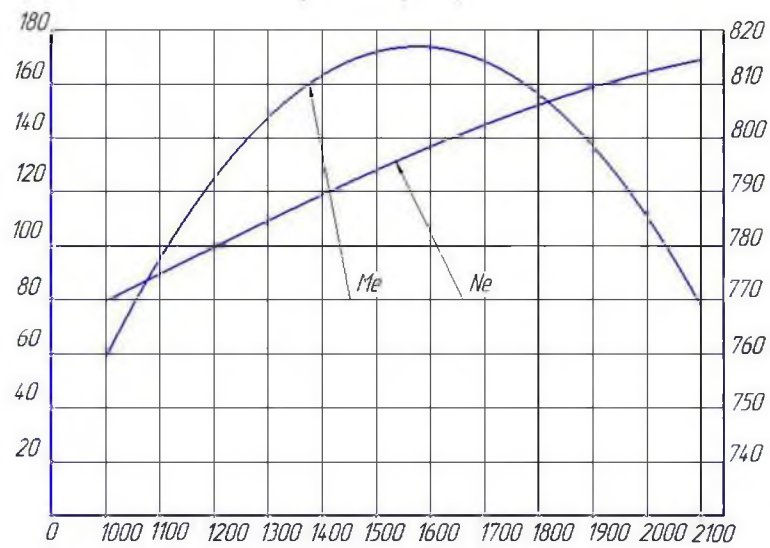


Рисунок 2.1-Внешняя скоростная характеристика

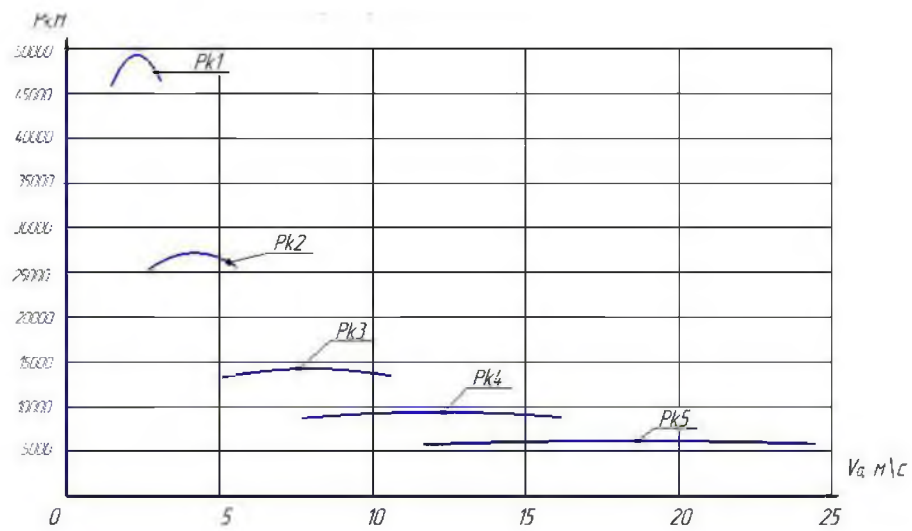


Рисунок 2.2-Тяговая характеристика автомобиля

Изм.	Лист	№ докум.	Подпись	Дата

23.05.01.2017.615 ПЗ

Лист

32

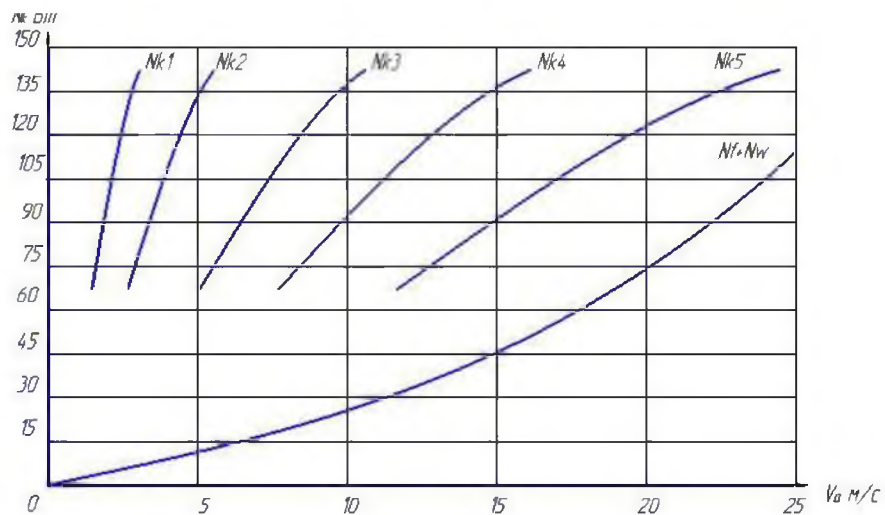


Рисунок 2.3-Мощностной баланс

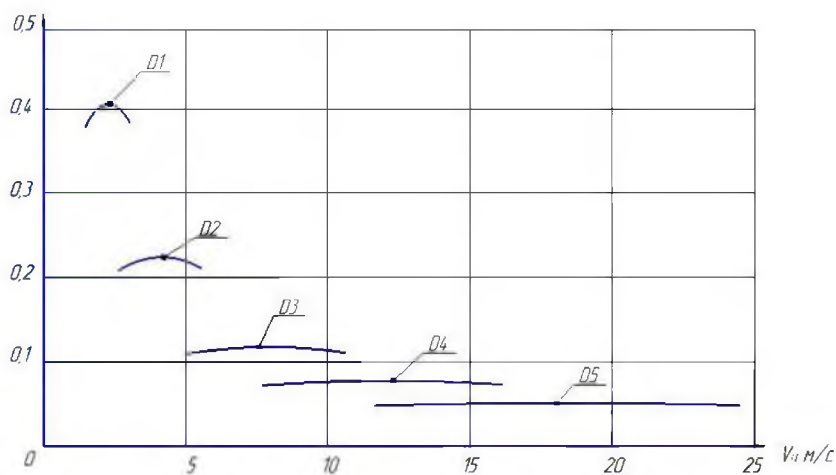


Рисунок 2.4-Динамический фактор

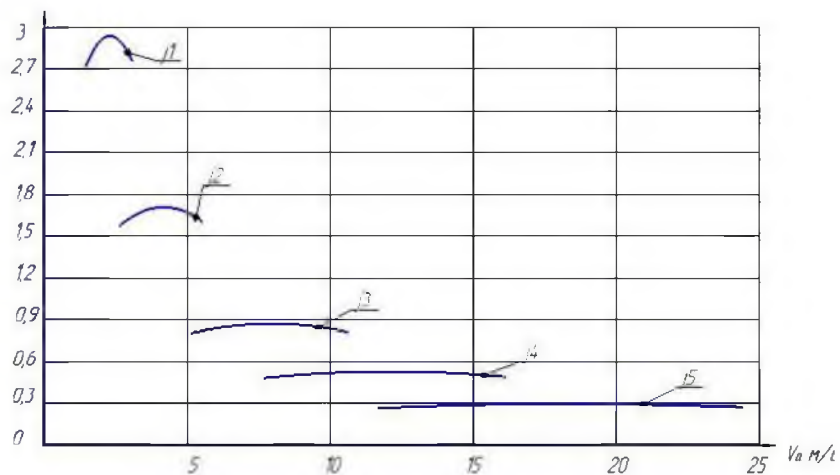


Рисунок 2.5-Ускорение автомобиля

Изм.	Лист	№ докум.	Подпись	Дата

23.05.01.2017.615 ПЗ

Лист

33

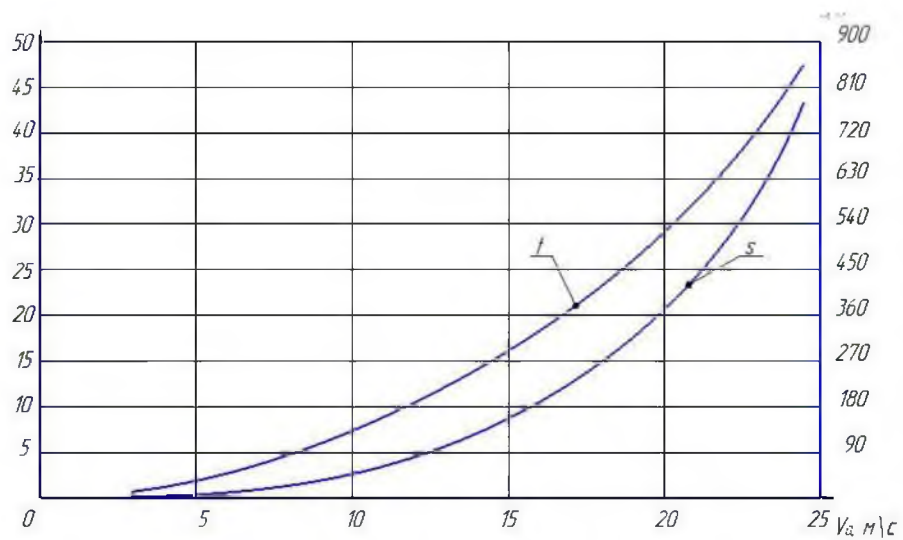


Рисунок 2.6-Время и путь разгона

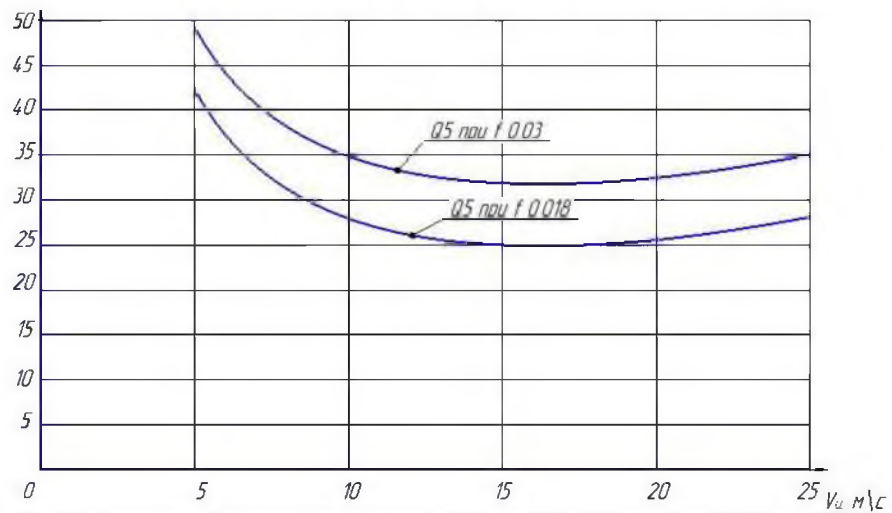


Рисунок 2.7-Топливная экономичность

Вывод по разделу два:

В данном пункте выполнен тягово-динамический расчет автомобиля Урал 43206 с двигателем ЯМЗ-236НЕ2 и коробкой передач 236У.

Изм.	Лист	№ докум.	Подпись	Дата

23.05.01.2017.615 ПЗ

Лист

34

### 3 КОНСТРУКЦИОННАЯ ЧАСТЬ

#### 3.1 Расход пестицида

Для настройки опрыскивателя на заданную норму расхода пестицида вначале рассчитывают минутный расход рабочей жидкости (л/мин) по формуле:

$$M=Q \times B \times V / 600, \quad (3.1)$$

где Q - норма расхода пестицида, л/га;

B- ширина захвата машины, м;

V-рабочая скорость, км/ч.

$$M=500 \times 18 \times 10 / 600 = 150 \text{ (л/мин)}$$

Минутный расход не должен превышать 80% производительности насоса.

В качестве насоса на платформе автомобиля установлена дизельная мотопомпа Champion DP50E производительностью 367 л/мин.

#### 3.2 Минутный расход

Затем определяем минутный расход q (л/мин) через один распылитель:

$$q = M / n, \quad (3.2)$$

где n - число распылителей.

$$q = 150 / 36 = 4 \text{ (л/мин)}$$

Если на штанге опрыскивателя уже установлены исправные распылители определенного типа, диаметра (цвета) с известным минутным расходом жидкости, далее по таблице определяем необходимое рабочее давление в нагнетательной магистрали и рассчитываем требуемую скорость движения (км/ч) по формуле:

$$V = 600 \times n \times q / (B \times Q), \quad (3.3)$$

где Q - норма расхода пестицида, л/га;

B- ширина захвата машины, м;

q- минутный расход пестицида, л/га;

n- число распылителей

$$V = 600 \times 36 \times 4 / (18 \times 500) = 10 \text{ (км/ч)}$$

									Лист
									35
Изм.	Лист	№ докум.	Подпись	Дата					

23.05.01.2017.615 ПЗ

Фактический расход жидкости (л/га) определяют по формуле:

$$Q = 104 \times G / (B \times L), \quad (3.4)$$

Где G- контрольная навеска (фиксированное количество залитой в бак воды), л;

B - ширина захвата опрыскивателя, м;

L - длина контрольного пути (отрезка), м.

$$Q = 104 \times 2000 / (18 \times 100) = 115 \text{ (л/га)},$$

Сменную производительность данного опрыскивателя (га/день) можно определить по формуле:

$$\Pi = 0,1 \times B \times V \times T \times K, \quad (3.5)$$

где T — время смены, ч;

B — ширина захвата опрыскивателя, м;

V — рабочая скорость, км/ч;

K — коэффициент использования рабочего времени смены 0,4—0,6.

$$\Pi = 0,1 \times 18 \times 10 \times 14 \times 0,4 = 100 \text{ (га/день)}$$

Исходя из проведенных расчетов по расходу жидкости можно сделать вывод что данный опрыскиватель является производительным. [9]

### 3.3 Общая масса

Бочка опрыскивателя имеет емкость 2000 литров (масса 1 литра воды 1 кг), поэтому масса воды составляет 2000 кг. Вес опрыскивателя без рабочей жидкости составляет 800 кг и 4 кронштейна массой 5 кг

Общая расчетная масса предлагаемой конструкции вместе с полной бочкой:

$$m_{\text{общая}} = 2000 + 800 + 20 = 2820 \text{ кг} \quad (3.6)$$

									Лист
									36
Изм.	Лист	№ докум.	Подпись	Дата					

23.05.01.2017.615 ПЗ

### 3.4 Динамический коэффициент

При прочностном расчете автомобиля применяется так называемый динамический коэффициент  $K_D$ , учитывающий перегрузки, возникающие в момент наезда на неровности дороги. Предельные динамические нагрузки характеризуются именно этим коэффициентом динамической нагрузки:

$$K_D = \frac{P_D}{P_{ст}}, \quad (3.7)$$

где  $P_D$  – динамическая нагрузка;

$P_{ст}$  – статическая нагрузка.

Значения коэффициентов динамической нагрузки:

- для грузовых: 2. . . 2,5;
- для автобусов: 1,5. . . 2;
- для легковых: 1,1. . . 1,5.

Принимаем коэффициент динамичности  $K_D=2$ .

### 3.5 Реакции на кронштейне

Необходимо найти реакции кронштейна

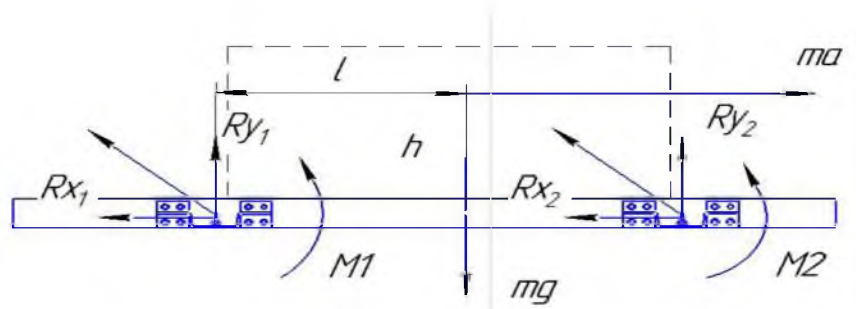


Рисунок 3.1 Силы и моменты действующие на конструкцию

Нагрузка распределена одинаково на кронштейнах

$$R_{y1}=R_{y2}=R_y$$

$$R_{x1}=R_{x2}=R_x$$

$$M_1=M_2=M$$

$$R_y = \frac{mg}{4}, \quad (3.8)$$

$$M = \frac{mah}{4}, \quad (3.9)$$

$$R_x = \frac{ma}{4}, \quad (3.10)$$

Где  $m$ - полная масса

$g$ -ускорение свободного падения

$h$ -высота до центра рамы

$a$ -линейное ускорение

Находим равнодействующую силу  $F$ :

$$F = \sqrt{\left(\frac{ma}{4}\right)^2 + \left(\frac{mg}{4}\right)^2}, \quad (3.11)$$

$$F = \sqrt{\left(\frac{2820 \times 1.5}{4}\right)^2 + \left(\frac{2820 \times 9.8}{4}\right)^2} = 7129 \text{ Н}$$

Предполагаем что нагрузка распределена равномерно на все болты тогда нагрузка на один болт:

$$F_6 = 7129/8 = 891 \text{ Н}$$

Определяем нагрузку от момента

$$F_T = \frac{T \times r_{max}}{\sum r_i^2}, \quad (3.12)$$

$$F_T = \frac{441894}{47349 + 98219} = 3,03 \text{ Н}$$

В результате расчета видно, что сила от момента незначительна и ей можно пренебречь.

Тогда расчетная нагрузка:

$$P_{РАСЧ} = K_D \cdot F_6 = 2 \cdot 891 = 1782 \text{ Н}, \quad (3.13)$$



### 3.6 Крепление кронштейна к раме опрыскивателя

Рама опрыскивателя крепится к платформе автомобиля с помощью четырех кронштейнов, которые соединяются с рамой опрыскивателя четырьмя болтами, а с рамой автомобиля посредством стремянки.

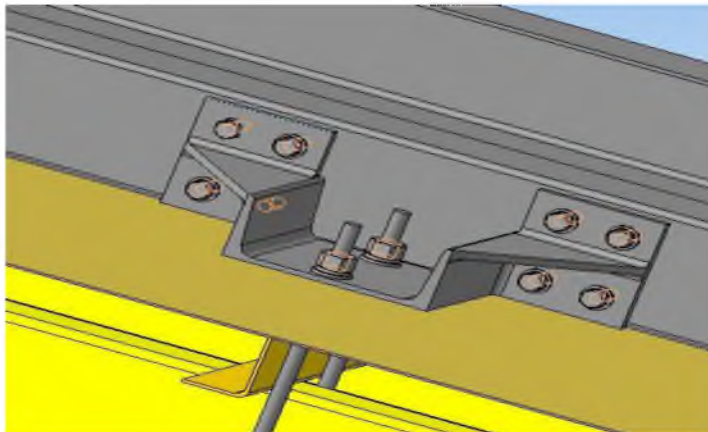


Рисунок 3.1 – Крепление рамы опрыскивателя к кронштейну

Кронштейн крепится к раме опрыскивателя четырьмя болтами, которые установлены с зазором, поэтому для обеспечения предотвращения смещения кронштейна относительно рамы, болты должны обеспечивать необходимое усилие затяжки, достаточное для того чтобы создать такую силу трения между кронштейном и платформой, чтобы он не сместился. Болты в таком случае рассчитываются на действие осевой силы. Для крепления кронштейнов к раме применяем болты класса прочности 5.6. Расчет диаметра болта крепления кронштейна приведен ниже

Требуемое усилие затяжки болтов определяется по формуле

$$F_{\text{ЗАТ}} = \frac{K_{\text{Д}} \cdot P_{\text{РАСЧ}}}{i \cdot f}, \quad (3.14)$$

где  $i$  – число плоскостей трения;

$f$  – коэффициент трения.

Количество плоскостей трения  $i=1$ , коэффициент трения скольжения по стали  $f=0,15$ .

$$F_{\text{ЗАТ}} = \frac{2 \cdot 1782}{1 \cdot 0,15} = 11880 \text{ Н.}$$

Допускаемое напряжение растяжения  $[\sigma]$  примем равному:

$$[\sigma] = \sigma_T / k,$$

где  $k$  – коэффициент запаса, равный 1,7.

Определяем расчетный диаметр болта

$$d = \sqrt{\frac{4P}{\pi \times [\sigma]}}, \quad (3.15)$$

$$d = \sqrt{\frac{4 \times 11880}{3,14 \times 200}} = 8,6 \text{ мм}$$

Принимаем болт М10

Вывод по разделу три:

В данном разделе дипломного проекта были произведены расчеты минутного расхода рабочей жидкости, производительность опрыскивателя за смену, крепления нового кронштейна к раме а так же определены размеры болтов необходимые для установки.

									Лист
									40
Изм.	Лист	№ докум.	Подпись	Дата					

23.05.01.2017.615 ПЗ



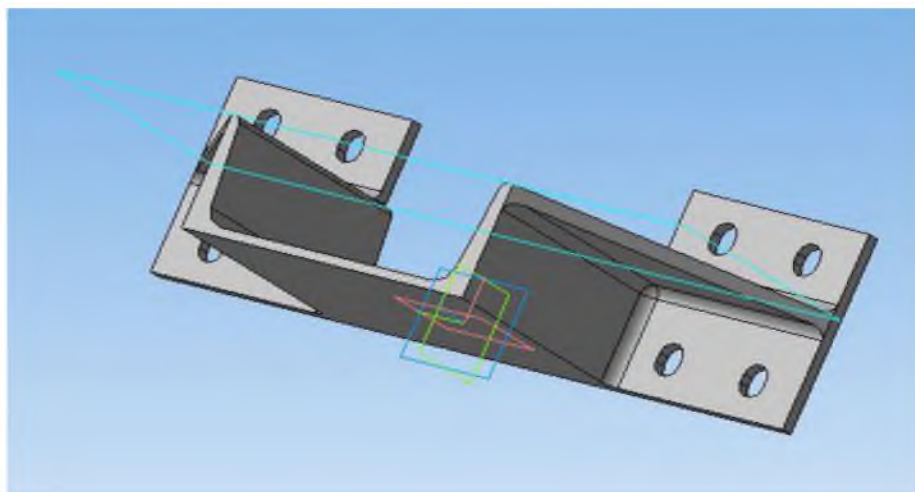


Рисунок 4.1 - Кронштейн

Место установки кронштейна на раму должны удовлетворять следующим условиям: 1) находится на максимальном безопасном удалении друг от друга для минимизации опрокидывающего момента от опрыскивателя 2) Стремянка крепления должна располагаться как можно ближе к силовому поперечному набору платформы для предотвращения смещения .

Для изготовления кронштейна потребуется лазерная установка, фрезерный станок и сварочный инверторный аппарат.

Для автоматического раскроя материала достаточно подготовить файл рисунка в любой чертежной программе и перенести файл на компьютер установки, которая выдержит погрешности в очень малых величинах;



Рисунок 4.2 – Лазерное оборудование M1225

									Лист
									42
Изм.	Лист	№ докум.	Подпись	Дата					

23.05.01.2017.615 ПЗ





## 4.2 Технологический процесс изготовления кронштейна

### 005 Заготовительная операция

Швеллер размечается на расстояние 150 мм. Пластина и ребро размечается на листе и изготавливаются из листового проката 6×1250×3500 ГОСТ19903-74

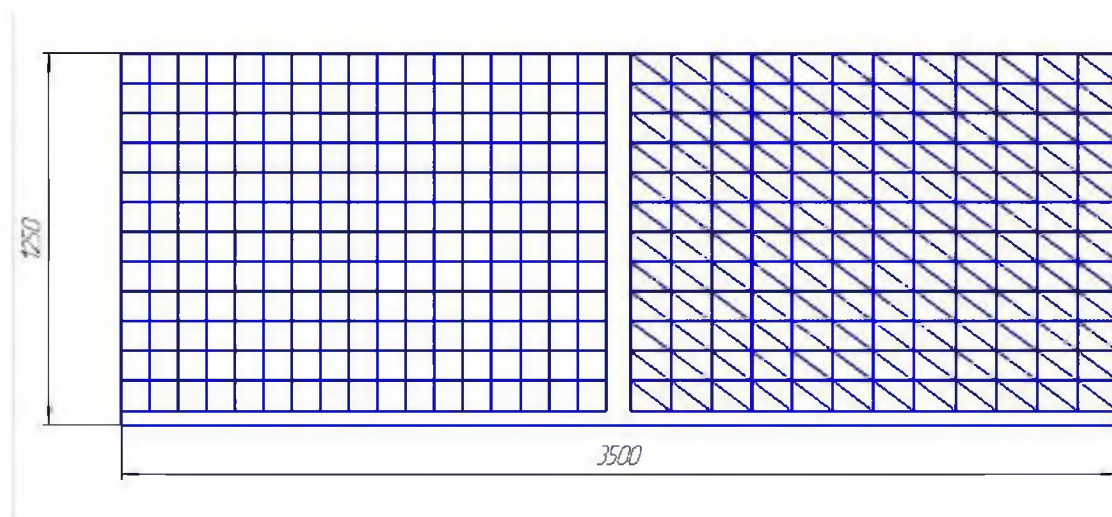


Рисунок 4.3 - Разметка листа для резки

### 010 Операция лазерная резка

Заготовки получаем при помощи лазерной резки. Швеллер 16У ГОСТ 8240-97 режем на расстояние 150 мм.

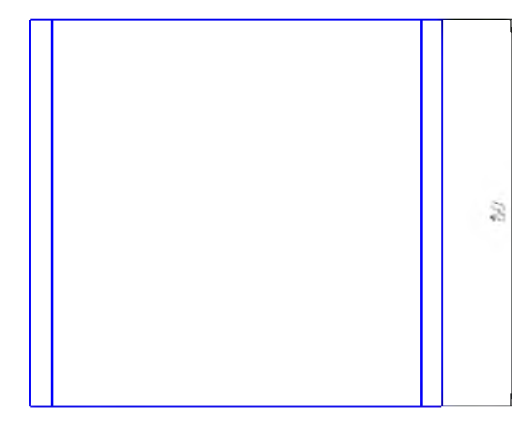


Рисунок 4.4 - Швеллер

Пластину кронштейна режем лазерной установкой 100×100 мм

										Лист
										45
Изм.	Лист	№ докум.	Подпись	Дата	23.05.01.2017.615 ПЗ					













рабочего времени теряется из-за болезни и травматизма, что равняется 128 тыс. человеко-смен. Подсчитано, что смерть рабочего на производстве обходится примерно в 50 ... 70 тыс. у. е., тяжелая травма – 30 ... 50 тыс. у. е., обычная травма – 200 ... 400 у. е.

Особенно тяжелое положение в области охраны труда наблюдается в сельском хозяйстве. При числе работающих 28 %, травматизм составляет 42 ... 47 %, так же со смертельным исходом. Это в 1,8 раза больше, чем в среднем по стране.

Анализируя все выше изложенное, можно прийти к выводам, что охрана труда является одним из важнейших элементов на производстве, и в особой степени это касается сельского хозяйства, где уровень травматизма выше, чем в среднем по республике. Главной задачей охраны труда является снижение производственного травматизма, что в свою очередь исключит гибель людей на производстве, и в свою очередь снизит материальные затраты на покрытие последствий травматизма и увеличит общее рабочее время. [12]

#### 5.1 Требования безопасности труда при работе с опрыскивателем

1. Настоящие Правила устанавливают основные государственные нормативные требования в области охраны труда при осуществлении работ с использованием пестицидов и агрохимикатов, выполнение которых способствует снижению производственного травматизма и заболеваемости работников.

2. На базе ЦПК применение пестицидов и агрохимикатов на посевных площадях осуществляется с помощью тракторного или автомобильного опрыскивателя и разбрасывателя, в теплице и на парниках с помощью электрического и ручных опрыскивателей, а также вручную.

3. Руководители подразделений, ответственные за организацию и безопасность труда при работе с пестицидами и агрохимикатами, обязаны:

										Лист
										51
Изм.	Лист	№ докум.	Подпись	Дата						

23.05.01.2017.615 ПЗ











#### 5.4 Требования безопасности по окончании работы

1. В конце каждой рабочей смены необходимо организовать промывку емкостей и всей гидравлической системы машин и опрыскивателей в соответствии с инструкцией по эксплуатации.

2. Снять спецодежду, очистить её от пыли и грязи и повесить в шкаф. Запрещается хранить спецодежду, используемую на работах с ядохимикатами, вместе с домашней одеждой.

3. Хранение спецодежды допускается только в специальном помещении, изолированном как от помещения для хранения домашней одежды, так от помещения для хранения ядохимикатов.

4. Остатки ядохимикатов сдать на склад. Если они пришли в негодность, то ядохимикаты должны быть обезврежены и захоронены на глубину не менее 1 метра.

5. На рабочих местах должны быть вывешены надписи, схемы и другая информация о необходимой последовательности действий в условиях опасной или аварийной ситуации.

Вывод по разделу пять:

В данном разделе дипломного проекта, были рассмотрены общие требования при эксплуатации опрыскивателя перед началом работ , в процессе работы и по завершению работ . [14]

										Лист
										56
Изм.	Лист	№ докум.	Подпись	Дата						

23.05.01.2017.615 ПЗ

## 6 ГРАЖДАНСКАЯ ОБОРОНА

При разработке и проектировании новых моделей автомобилей в современных условиях большое внимание уделяется вопросу использования их в составе подразделения гражданской обороны.

Проектируемый автомобиль по техническим характеристикам даёт возможность использовать его в данных условиях и целях.

В случае военных действий возможно химическое, радиационное воздействие, что скажется на окружающей среде и на человеке. Поэтому автомобиль может оказаться единственным видом транспорта, который будет способен выполнить обеззараживание территории, обработать края дорог и доставить специальное оборудование к местам назначения. Особенно это касается автомобилей высокой грузоподъёмности и проходимости. Автомобиль с модульной установкой опрыскивателя может передвигаться в условиях бездорожья в обход автомагистралей, по снежной целине с глубиной снежного покрова до 300 мм, преодолевать водные преграды глубиной до 1,5 м. Цельнометаллическая кабина расположенная высоко от поверхности земли, предохраняет водителя и пассажиров от воздействия радиационного облучения и проникновения радиационной пыли в кабину автомобиля. Возможность демонтажа модуля опрыскивателя позволит использовать автомобиль по прямому назначению.

Проектируемый автомобиль снабжен двигателем достаточной мощности что позволит, в сочетании с опрыскивателем, использовать его при проведении различных работ: транспортировки пестицидов, буксировании повреждённой техники.

При использовании автомобиля в условиях гражданской обороны он должен доукомплектовываться специальными моющими установками для проведения дезактивации, аптечкой для оказания первой медицинской помощи, а также герметичным бачком для хранения запаса питьевой воды. На автомобильных фарах должны устанавливаться светомаскировочные устройства (щитки

										Лист
										57
Изм.	Лист	№ докум.	Подпись	Дата						

23.05.01.2017.615 ПЗ

затемнения). Каждый автомобиль укомплектовывается шанцевым инструментом.

Вывод по разделу шесть:

Исходя из вышеизложенного, можно говорить о возможности использования проектируемого автомобиля с модульной установкой опрыскивателя в системе гражданской обороны.

					23.05.01.2017.615 ПЗ	Лист
Изм.	Лист	№ докум.	Подпись	Дата		58



оборудованием и площадями для организации производственного процесса, поэтому капитальные вложения в оборудование или строительные–монтажные работы по данному проекту не требуются.

В таблице 7.2 представлено, какие рабочие непосредственно заняты в производстве одной единицы продукции.

Таблица 7.2 – Рабочие, непосредственно занятые производством продукции

Наименование	Разряд	Кол-во, чел.
Слесарь-сборщик	4	2
Токарь-фрезеровщик	4	1
сварщик	4	1

Затраты на оплату труда рассчитаны исходя из положения о составе затрат предприятия (таблица. 7.3).

Таблица 7.3 - Расчет заработной платы производственных рабочих

Статьи	ед. изм.	Фрезеровщик	Сварщик	Сборщик
Тариф на за/п	Руб.	185	145	140
Отработанное время	н/ч.	160	160	160
з/п	Руб.	29600	23200	22400
Район. надбавка 15%	Руб.	4440	3682,5	3360
Основная заработная плата с доплатой	Руб.	34040	26882,5	25760
Отчисления ФСС 30%	Руб.	10212	8064,75	7728
Заработная плата без ФСС		23828	18817,75	18032

Общие затраты на заработную плату по проекту представлены в таблице 4.

Таблица 7.4 - Численность производственных рабочих и расходы на заработную плату и отчисления ФСС, руб.



Таблица 7.5 - Калькуляция единицы изделия

Наименование	Сумма (руб.)
Сырье и материалы	906 920
Расходы на оплату труда	416 076
Отчисления на социальные нужды (28,1% от с.5)	124 823
Производственная себестоимость	1 447 819
Коммерческие расходы (1,5% от производст. себестоимости)	14 478
Полная себестоимость	1 462 297
Прибыль (50% от полной себестоимости)	365 574
Цена (с.15+с.16)	1 827 871
Налог на добавленную стоимость НДС (18%от с.17)	329 017
Цена реализации	2 156 888

Суммарные затраты на производство и сбыт продукции за 3 года на весь объем выпуска (10 шт. в год) представлены в таблице 7.6.

Горизонт расчета (3 года) обусловлен запланированной программой выпуска, основанной на портфеле заказов – 10 автомобилей в год.

Суммарные затраты на весь объем выпуска представляют собой все статьи затрат, представленные в калькуляции на единицу продукции (табл. 5), а также общепроизводственные расходы.

Общепроизводственные расходы - это затраты на содержание, организацию и управление производствами (основным, вспомогательным, обслуживающим). К ним относятся:

- стоимость материалов, запчастей, использованных для обслуживания и ремонта производственного оборудования;
- затраты на оплату труда сотрудников, занятых обслуживанием производства (мастеров, начальников цехов, технологов, рабочих,









- чистый дисконтированный доход;

1. Чистый дисконтированный доход (ЧДД) рассчитан по формуле 1.

$$\text{ЧДД} = \sum_{t=1}^T (R_t - Z_t) \times a_t - \sum_{t=1}^T K_t \times a_t, \quad (7.1)$$

где  $R_t$  – поступления от реализации проекта, руб.;

$Z_t$  – текущие затраты на реализацию проекта, руб.;

$a_t$  – коэффициент дисконтирования;

$K_t$  – капитальные вложения в проект, руб.;

$t$  – номер временного интервала реализации проекта;

$T$  – срок реализации проекта (во временных интервалах).

Критерий эффективности инвестиционного проекта выражается следующим образом:  $\text{ЧДД} > 0$ . Положительное значение чистого дисконтированного дохода говорит о том, что проект эффективен и может приносить прибыль в установленном объеме. Отрицательная величина чистого дисконтированного дохода свидетельствует о неэффективности проекта (т.е. при заданной норме прибыли проект приносит убытки предприятию и/или его инвесторам).

- индекс доходности инвестиций;

индекс доходности по чистому дисконтированному доходу (ИД) рассчитан по формуле 2.

$$\text{ИД} = \frac{\sum_{t=1}^T (R_t - Z_t) \times a_t}{\sum_{t=1}^T K_t \times a_t}, \quad (7.2)$$

где  $R_t$  – поступления от реализации проекта, руб.;

$Z_t$  – текущие затраты на реализацию проекта, руб.;

$a_t$  – коэффициент дисконтирования;

$K_t$  – капитальные вложения в проект, руб.;



дисконтированных денежных потоков доходов и расходов, производимых в процессе реализации инвестиции за прогнозный период.

Суть критерия состоит в сравнении текущей стоимости будущих денежных поступлений от реализации проекта с инвестиционными расходами, необходимыми для его реализации.

Применение метода предусматривает последовательное прохождение следующих стадий:

- 1) расчет денежного потока инвестиционного проекта;
- 2) выбор ставки дисконтирования, учитывающей доходность альтернативных вложений и риск проекта;
- 3) определение чистого дисконтированного дохода.

Денежные потоки должны рассчитываться в текущих или дефлированных ценах. При прогнозировании доходов по годам необходимо по возможности учитывать все виды поступлений как производственного, так и непроизводственного характера, которые могут быть ассоциированы с данным проектом. Так, если по окончании периода реализации проекта планируется поступление средств в виде ликвидационной стоимости оборудования или высвобождения части оборотных средств, они должны быть учтены как доходы соответствующих периодов.

В основе расчетов по данному методу лежит посылка о различной стоимости денег во времени. Процесс пересчета будущей стоимости денежного потока в текущую называется дисконтированием.

Ставка, по которой происходит дисконтирование, называется ставкой дисконтирования (дисконта), а множитель  $a = 1/(1 + i)^t$  - коэффициентом дисконтирования.

Горизонт расчета составляет 3 года, шаг расчета равен 1 год. Ставка дисконтирования составляет 18% (учитывая ставку рефинансирования ЦБ 11% на момент расчета и поправку на риск 7%).

										Лист
										68
Изм.	Лист	№ докум.	Подпись	Дата						

23.05.01.2017.615 ПЗ



Таблица 7.11-Денежные потоки

Наименование показателей	1 год	2 год	3 год
<b>ДЕЯТЕЛЬНОСТЬ ПО ПРОИЗВОДСТВУ И СБЫТУ ПРОДУКЦИИ</b>			
Денежные поступления, всего	21 568 881	21 568 881	21 568 881
в том числе:			
Поступления от продажи продукции (услуг)	21 568 881	21 568 881	21 568 881
Денежные выплаты, всего	15 609 070	16 441 222	16 441 222
в том числе:			
Затраты по производству и сбыту продукции	15 609 070	16 441 222	16 441 222
Сальдо потока от деятельности по производству и сбыту продукции	5 959 811	5 127 659	5 127 659
<b>ИНВЕСТИЦИОННАЯ ДЕЯТЕЛЬНОСТЬ</b>			
Приток средств, всего	2 267 300	0	0
в том числе:	2 267 300		
Отток средств, всего	2 267 300		
Сальдо потока от инвестиционной деятельности	0	0	0
Сальдо потока от производственной и инвестиц-ой деятельности (сумма показателей пп. 3 и 6)	5 959 811	5 127 659	5 127 659
Сальдо потока нарастающим итогом	5 959 811	11 087 469	16 215 128

Изм.	Лист	№ докум.	Подпись	Дата

23.05.01.2017.615 ПЗ

Лист

70





Моментом окупаемости с учетом дисконтирования называется тот наиболее ранний момент времени в расчетном периоде, после которого текущий чистый дисконтированный доход ЧДД становится и в дальнейшем остается неотрицательным. Расчет срока окупаемости представлен в таблице 12.

Таблица 7.12– Срок окупаемости

	Доход (Д)	Амортизация (А)	Прибыль (Р)	Налог на прибыль	Чистая прибыль (Рч)	Сумма чистой прибыли и амортизации (Дч=Рч+А)	Баланс на конец года	Срок окупаемости (год)
<b>Год 0</b>								
<b>Инвестиции</b>								
<b>2 267 300,0</b>	0,0	0,0	0,0	0,0	0,0	0,0		0,0
	Доход	Амортизация	Прибыль до уплаты налогов	Налог на прибыль (20%)	Чистая прибыль	Сумма чистой прибыли и амортизации	Баланс на конец года	Срок окупаемости
1 год	2 077 412	0	2 077 412	415 482	1 661 930	1 661 930	-605 370	1,00
2 год	1 245 260	0	1 245 260	249 052	996 208	996 208	390 838	2,00
3 год	1 245 260	0	1 245 260	249 052	996 208	996 208	1 387 046	3,00
<b>Итого</b>	<b>4 567 932</b>	<b>0</b>	<b>4 567 932</b>	<b>913 586</b>	<b>3 654 346</b>	<b>3 654 346</b>		

В рассматриваемом проекте срок окупаемости с учетом дисконтирования составляет 1год и 7 месяца.

Проект считается устойчивым, если при всех сценариях он оказывается эффективным и финансово реализуемым, а возможные неблагоприятные последствия устраняются мерами, предусмотренными организационно-экономическим механизмом проекта.

Для оценки устойчивости проекта в работе будет использован метод расчета точки безубыточности.

Точка безубыточности определяется по формуле:

$$ТБ = ПОИ / (Ц - СПИ), \quad (7.4)$$

где ПОИ - постоянные затраты, размер которых напрямую не связан с объемом производства продукции, руб.,

Ц - цена за единицу продукции, руб.,

СПИ - переменные затраты, величина которых изменяется с изменением объема производства продукции, руб./ед.

Данные для расчета точки безубыточности представлены в таблице 7.13.

Таблица 7.13 – Исходные данные для расчета точки безубыточности

Показатели	Сумма
цена (без НДС)	1 827 871
переменные расходы на 1 изд.	1 462 297
постоянные расходы на 1 изд.	104 019
себестоимость одного изд.	1 566 316

$$ТБ = 1040190 / (1827871 - 1462297) \approx 3 \text{ шт.}$$

Построим график точки безубыточности (рисунок 7.1).

## 7.2 Точка безубыточности



Рисунок 7.1 – График точки безубыточности

Изм.	Лист	№ докум.	Подпись	Дата
------	------	----------	---------	------

23.05.01.2017.615 ПЗ

Лист

73

Таким образом, безубыточный объем продаж составляет 8% от планируемого объема производства и реализации в первом году реализации проекта.

Обычно проект считается устойчивым, если в расчетах по проекту в целом уровень безубыточности не превышает 0,6 - 0,7 после освоения проектных мощностей. Близость уровня безубыточности к 1 (100 %), как правило, свидетельствует о недостаточной устойчивости проекта к колебаниям спроса на продукцию на данном шаге.

По итогам анализа можно сделать вывод об устойчивости проекта, т. к. уровень безубыточности меньше предельно допустимого значения.

Вывод по разделу семь:

В данной части дипломного проекта была проведена оценка экономической целесообразности установки опрыскивателя «Заря» на платформу автомобиля «Урал 43206». По результатам проведенных расчетов установлена экономическая эффективность и окупаемость данного технического решения.

										Лист
										74
Изм.	Лист	№ докум.	Подпись	Дата	23.05.01.2017.615 ПЗ					

## ЗАКЛЮЧЕНИЕ

В ходе выполнения дипломного проекта был спроектирован автомобиль с установкой модуля опрыскивателя. В ходе расчетов был определен расход жидкости опрыскивателя определена нагрузка на болты кронштейна, выбран необходимый диаметр болтового соединения, в экономической части были получены положительные данные от внедрения модуля опрыскивателя В ходе экономического расчета проектируемого автомобиля, был выявлен положительный экономический эффект от внедрения данного автомобиля в эксплуатацию, срок окупаемости спроектированного автомобиля составил 1 год и 7 месяцев.

					23.05.01.2017.615 ПЗ	Лист
Изм.	Лист	№ докум.	Подпись	Дата		75



11. Охрана труда в сельском хозяйстве. Справочник. Изд. 1 – ое, перераб, и доп. М.: “Колос”, 2010. .-241 с.

13. СТО ЮУрГУ 04-2008 Стандарт организации. Курсовое и дипломное проектирование. Общие требования к содержанию и оформлению / составители: Т.И. Парубочая, Н.В. Сырейщикова, В.И. Гузеев, Л.В. Винокурова.-Челябинск: Изд-во ЮУрГУ, 2008.-56 с.

14. Автомобильное машиностроение.

<http://www.avtomash.ru/katalog/pred/auto/index.html>

15. Опрыскиватели фирмы «Заря»

<http://zarja-miass.ru>

16. Механизированные опрыскиватели и их классификация

<http://asprus.ru/blog/mexanizirovannye-opryskivateli-i-ix-klassifikaciya/>

17. Техническая характеристика автомобиля Урал 43206.

<http://uralspecmash.ru/poleznaya-informaciya/ural-43206/tehniceskaya-harakteristika>

18. С.В. Аврутин. Фрезерное дело.

[http://tehinfor.ru/s\\_4/par28.html](http://tehinfor.ru/s_4/par28.html)

19. Требования безопасности к конструкции автомобиля.

[http://otherreferats.allbest.ru/transport/00017240\\_0.html](http://otherreferats.allbest.ru/transport/00017240_0.html).

20. Справочник автомобилиста.

<http://pegasus-auto.com/vahlamov/1/konstruk4.htm>.

										Лист
										77
Изм.	Лист	№ докум.	Подпись	Дата						

23.05.01.2017.615 ПЗ